

マグネタイト混合ペレットの還元過程のX線的考察

Study on the Reduction Process of Magnetite Mixed Pellets by X-ray Diffraction Method

マグネタイトペレットの還元に関する研究(2)

Study on the reduction of magnetite pellets (2)

李 海 淑*・館 充*

Hesu REE and Mitsuru TATE

すでに報告¹⁾したマグネタイト混合ペレットの還元焼成過程をX線的に調べることは、マグネタイト混合ペレットの還元機構解明に有力な手がかりを与えるものと考えられるが、これに関する系統的な研究は見当たらない。

このような条件下において今回われわれはそのX線的研究をおこなったので結果を報告する。

実験方法

試料は前報²⁾と同じ3種のガス雰囲気中、径20mmの混合ペレットを1100°C, 1200°Cにて5, 10, 15, 30, 60分還元焼成したものと外、内、中心部に分割して回折用試料とした。X線の回折は30kVA, 15mAにてFeでフィルタしたCoK α 線を用い粉末法でおこなった。また各試料とも29, 20~60°の範囲に各組織の特徴ある回折線が現われたので、主にこの回折角範囲で回折させた。

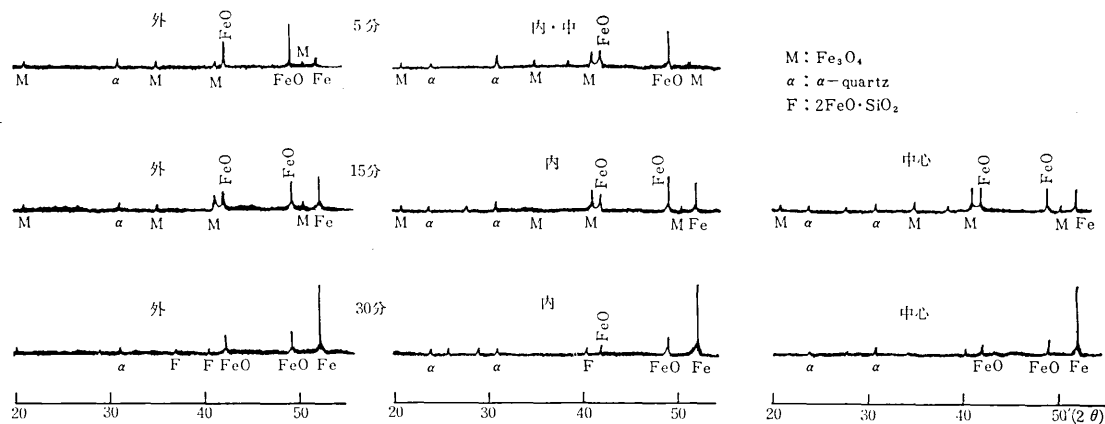
実験結果

本実験に使用した茂山磁鉄鉱をX線回折したことろ、かなり鮮明で鋭いFe₃O₄および α -quartzの回折線を示した。このことから鉱石のFe₃O₄成分は単一組織をなしていることが容易に推定される。このような組成の鉱石からなる混合ペレットをCO₂混合ガス中1100°Cにて還元焼成した試料の外、内、中心部のX線回折図を図1に示す。図から還元焼成時間の経過とともに漸次還元が進んでいることが線強度の比較からわかる。還元焼成5分で外、内部ともFeOが著しく生成するが、外部は内部より線強度が高く、しかもFeの生成をも示した。それに対し内部ではFeの回折線を示さなかった。なお15分、30分と還元焼成時間が長くなるにつれ、Feの線強度は増大するが、15分までは中心部より外部の方が強度は高くなり30分でほぼ同じ強度を示すようになった。また30分では、FeO, Fe, α -quartzの回折線以外にFayaliteからの回折と目される回折線が外部と内部に見られた。またそれと同時に α -quartzの線強度が若干減少している。

以上のようにX線回折から還元の進行状況を容易に推察することができ、それと同時に組織的变化をも追跡できる。このような観察を各ガス組成雰囲気中1200°Cにて還元焼成したB₂₀₀ 80 C₂₀₀ 20とB₂₀₀ 80 C₆₀ 20について系統的におこなった。その結果は以下の通りである。

i) CO₂混合ガス中で還元焼成した場合

B₂₀₀ 80 C₂₀₀ 20は3分で外部と内部にFeの回折線が現われその線強度は外部がかなり高い、なおFeOも、1100°Cに比べ高い線強度を示した。またFayaliteと見られる回折線もこの焼成時間で現われ、それは焼成時間とともに外部では線強度と回折線の数を増していく。これと同時に α -quartzの線強度は減り、30分で完全に消滅する。さらに外部試料は全体に還元焼成時間30

図1 CO₂混合ガス中1100°Cにて還元焼成したB₂₀₀ 80 C₂₀₀ 20の外、内、中心部のX線回折図

* 東京大学生産技術研究所 第4部

分までかなり強いFeOの回折線を示したが、60分でそ

研究速報

の線強度が減少していた。

外部試料の Fe 線強度は還元焼成 15 分あたりで最高となり、それからは徐々に減ることが認められた。これに対し内部では還元焼成 3 分から 30 分まで、中心部では 10 分まで外部に比べ大変弱い線強度の Fayalite の回折線を示したが、60 分でその Fayalite の回折線は消失し Fe, α -quartz のみの回折線を示すようになった。その時の試料断面を写真 1 に示した。この写真からわかるように外部は緻密な殻で、内部は多孔質のスポンジ状を呈していた。

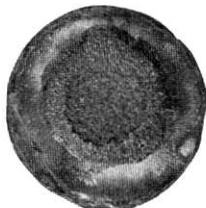


写真1 CO_2 混合ガス中 1200°C にて 60 分
還元焼成した $\text{B}_{200} 80 \text{ C}_{200}^{20}$ の断面写真

$\text{B}_{60} 80 \text{ C}_{60} 20$ の場合は $\text{B}_{200} 80 \text{ C}_{200} 20$ に比べ全体に還元の進行が遅いことを線強度の変化から推測できた。なお回折線の推移は $\text{B}_{200} 80 \text{ C}_{200} 20$ とほぼ同じような推移をたどるようである。

ii) N_2 ガス中で還元焼成した場合

$\text{B}_{200} 80 \text{ C}_{200} 20$ の外部は還元焼成 5 分で、内、中心部は 10 分まで弱い Fe_3O_4 の回折線を示した。また 15 分まで全体に Fayalite の弱い回折線が現われるが、それ以後は外、内、中心部とも消滅し Fe と α -quartz の回折線のみとなった。また FeO は 15 分で痕跡程度に弱くなつた。

$\text{B}_{60} 80 \text{ C}_{60} 20$ でも 60 分まで外部試料からの Fayalite の回折線は焼成時間の経過につれ線強度を増してゆくことが認められた。なお FeO の回折線は 15 分まで外、内、中心部のいずれにおいても現われるが 30 分以後では現われなくなつた。

iii) CO 混合ガス中で還元焼成した場合

$\text{B}_{200} 80 \text{ C}_{200} 20$, $\text{B}_{60} 80 \text{ C}_{60} 20$ とも還元焼成過程での還元の進行状況はほぼ N_2 中の場合と似ていることが

回折線図からわかった。しかしファヤライトの回折線はいずれの試料においても示さず、還元焼成 30 分で外、内、中心部とも Fe, α -quartz の回折線を示すだけであった。また $\text{B}_{200} 80 \text{ C}_{200} 20$, $\text{B}_{60} 80 \text{ C}_{60} 20$ とも焼成 15 分まで外部から中心部に向って還元が進み、それ以後は外、内、中心部にはっきりした差を認めがたいことが回折線の強度の比較からもわかった。

以上の結果から、

(1) CO_2 混合ガス中で還元焼成をおこなった場合特に外部において Fayalite の生成が焼成時間の経過とともに増大することが明らかとなった。この生成は 2 つの異なる反応過程によると考えられる。すなわち焼成初期の還元によって生じた FeO と SiO_2 の反応からのものと、少なくとも焼成 30 分以後においてはペレット外部の炭素の減少で酸化性雰囲気に変るため再酸化が進行し、その結果生じた FeO と SiO_2 の反応からのものであることが前報の還元率の推移と FeO の安定領域³から推察される。このため低温溶融物⁴である Fayalite は本実験温度域において融けだし、それが写真 1 のような緻密な殻を形成するものと推察される。さらにこの殻の形成はガスの拡散を阻害するようになり、その結果中心部は炭素の存在下引き続き $\text{C} + \text{CO}_2 = 2\text{CO}$ の反応をくり返し還元雰囲気を維持することができるので殻の内側は還元が進んだものと考えられた。そして焼成初期に内、中心部で形成された Fayalite もついに還元されるものと推測される。

(2) N_2 ガス中還元焼成過程で形成される Fayalite は還元によって生成する FeO と SiO_2 が還元雰囲気下で反応してできたものと考えられ、 FeO の還元が Fe へと進むにつれ Fayalite も還元され SiO_2 を再び遊離することが X 線的に明らかとなつた。

(1970年2月18日受理)

参考文献

- 1) 李, 尹, 館: 日本鉄鋼協会 78 回講演大会講演集 S 414
- 2) 李, 尹, 館: 生産研究 22 (1970) 1, 53
- 3) J. White J. Iron. Steel. Inst 148 (1943) 579.
- 4) J. O. Edstrom. J. Iron. Steel Inst. 175 (1953) 289.